

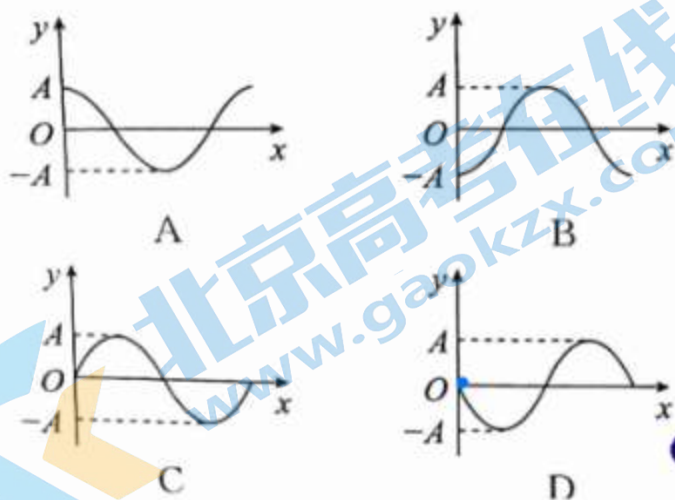
物 理

本试卷分第一部分和第二部分,满分 100 分,考试时间 90 分钟。

第一部分

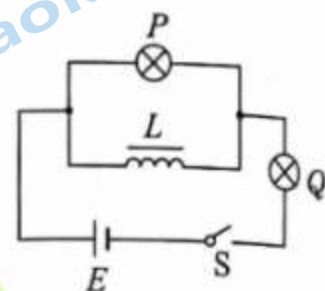
本部分共 14 小题,每小题 3 分,共 42 分。在每小题列出的四个选项中,选出最符合题目要求的一项。

- 夜间由于气温降低,汽车轮胎内的气体压强变低。与白天相比,夜间轮胎内的气体 (A)
 - 分子的平均动能更小
 - 单位体积内分子的个数更少
 - 所有分子的运动速率都更小
 - 分子对轮胎内壁单位面积的平均作用力更大
- 阳光下的肥皂膜呈现彩色条纹,这种现象属于光的 (C)
 - 偏振现象
 - 衍射现象
 - 干涉现象
 - 全反射现象
- 下列核反应方程中括号内的粒子为中子的是 (A)
 - ${}_{92}^{235}\text{U} + {}_0^1\text{n} \rightarrow {}_{56}^{144}\text{Ba} + {}_{36}^{89}\text{Kr} + 3{}_0^1\text{n}$
 - ${}_{92}^{238}\text{U} \rightarrow {}_{90}^{234}\text{Th} + (\quad)$
 - ${}_{7}^{14}\text{N} + {}_2^4\text{He} \rightarrow {}_8^{17}\text{O} + (\text{H})$
 - ${}_{6}^{14}\text{C} \rightarrow {}_7^{14}\text{N} + (\quad)$
- 位于坐标原点处的波源发出一列沿 x 轴正方向传播的简谐横波。 $t=0$ 时波源开始振动,其位移 y 随时间 t 变化的关系式为 $y=A\sin(\frac{2\pi}{T}t)$,则 $t=T$ 时的波形图为 (D)



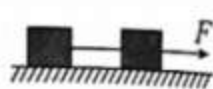
$t=0$ 与 $t=T$ 时,质点 $y=0$,向上振动,同位法

- 如图所示, L 是自感系数很大、电阻很小的线圈, P 、 Q 是两个相同的小灯泡。开始时,开关 S 处于闭合状态, P 灯微亮, Q 灯正常发光,断开开关 (D)



- P 与 Q 同时熄灭
- P 比 Q 先熄灭
- Q 闪亮后再熄灭
- P 闪亮后再熄灭

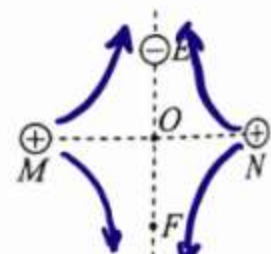
- 如图所示,在光滑水平地面上,两相同物块用细线相连。两物块质量均为 1 kg ,细线能承受的最大拉力为 2 N 。若在水平拉力 F 作用下,两物块一起向右做匀加速直线运动,则 F 的最大值为 $T = \frac{m_1}{m_1+m_2} F$ (C)
 - 1 N
 - 2 N
 - 4 N
 - 5 N



- 自制一个原、副线圈匝数分别为 600 匝和 190 匝的变压器,原线圈接 12 V 的正弦交流电源,副线圈接额定电压为 3.8 V 的小灯泡。实际测得小灯泡两端电压为 2.5 V 。下列措施有可能使小灯泡正常发光的是 (B)
 - 仅增加原线圈匝数
 - 仅增加副线圈匝数
 - 将原、副线圈匝数都增为原来的两倍
 - 将两个 3.8 V 小灯泡并联起来接入副线圈

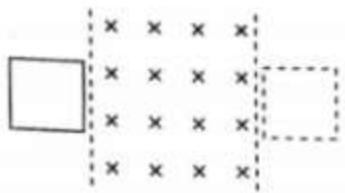


- 如图所示,两个带等量正电的点电荷位于 M 、 N 两点上, E 、 F 是 MN 连线中垂线上的两点, O 为 EF 、 MN 的交点, $EO=OF$ 。一带负电的点电荷在 E 点由静止释放后 (C)
 - 做匀加速直线运动
 - 在 O 点所受静电力最大
 - 由 E 到 O 的时间等于由 O 到 F 的时间
 - 由 E 到 F 的过程中电势能先增大后减小



简谐运动

9. 如图所示,光滑水平面上的正方形导线框,以某一初速度进入竖直向下的匀强磁场并最终完全穿出. 线框的边长小于磁场宽度. 下列说法正确的是 (D)



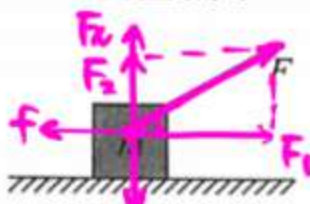
- A. 线框进磁场的过程中电流方向为顺时针方向
- B. 线框出磁场的过程中做匀减速直线运动
- C. 线框在进和出的两过程中产生的焦耳热相等
- D. 线框在进和出的两过程中通过导线横截面的电荷量相等 $q = \frac{\Delta\Phi}{R}$

10. 在太空实验室中可以利用匀速圆周运动测量小球质量. 如图所示,不可伸长的轻绳一端固定于O点,另一端系一待测小球,使其绕O做匀速圆周运动. 用力传感器测得绳上的拉力为F,用停表测得小球转过n圈所用的时间为t,用刻度尺测得O点到球心的距离为圆周运动的半径R. 下列说法正确的是 (A)



- A. 圆周运动轨道可处于任意平面内
- B. 小球的质量为 $\frac{FRt^2}{4\pi^2 n^2}$ $F = m\omega^2 R = m(\frac{2\pi n}{t})^2 R$
- C. 若误将n-1圈记作n圈,则所得质量偏大
- D. 若测R时未计入小球半径,则所得质量偏小

11. 如图所示,一物体在力F作用下沿水平桌面做匀加速直线运动. 已知物体质量为m,加速度大小为a,物体和桌面之间的动摩擦因数为μ,重力加速度为g. 在物体移动距离为x的过程中 (D)



- A. 摩擦力做功大小与F方向无关 $f = \mu(mg - F\sin\theta)$
- B. 合力做功大小与F方向有关 $W_A = max$
- C. F为水平方向时,F做功为 μmgx
- D. F做功的最小值为max

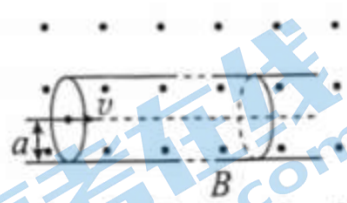
12. 2022年10月9日,我国综合性太阳探测卫星“夸父一号”成功发射,实现了对太阳探测的跨越式突破.“夸父一号”卫星绕地球做匀速圆周运动,距地面高度约为720 km,运行一圈所用时间约为100分钟. 如图所示,为了随时跟踪和观测太阳

的活动,“夸父一号”在随地球绕太阳公转的过程中,需要其轨道平面始终与太阳保持固定的取向,使太阳光能照射到“夸父一号”. 下列说法正确的是 (A)



- A. “夸父一号”的运行轨道平面平均每天转动的角度约为 1°
- B. “夸父一号”绕地球做圆周运动的速度大于 7.9 km/s
- C. “夸父一号”绕地球做圆周运动的向心加速度大于地球表面的重力加速度
- D. 由题干信息,根据开普勒第三定律,可求出日地间平均距离 $\frac{r^3}{T^2} = k$ (与 $M_{\text{太阳}}$ 有关)

13. 如图所示,在磁感应强度大小为B、方向垂直纸面向外的匀强磁场中,固定一内部真空且内壁光滑的圆柱形薄壁绝缘管道,其轴线与磁场垂直. 管道横截面半径为a,长度为l(l>>a). 带电粒子束持续以某一速度v沿轴线进入管道,粒子在磁场力作用下经过一段圆弧垂直打到管壁上,与管壁发生弹性碰撞,多次碰撞后从另一端射出. 单位时间进入管道的粒子数为n,粒子电荷量为+q,不计粒子的重力、粒子间的相互作用. 下列说法不正确的是 (C)



- ✓ A. 粒子在磁场中运动的圆弧半径为a
- ✓ B. 粒子质量为 $\frac{Bqa}{v}$ $BqR = m\frac{v^2}{R}$ $R = \frac{mv}{Bq} = a$
- C. 管道内的等效电流为 $nq\pi a^2 v$ 等效 $I = nq$
- ✓ D. 粒子束对管道的平均作用力大小为 $Bnql$

14. 在发现新的物理现象后,人们往往试图用不同的理论方法来解释. 比如,当发现光在地球附近的

重力场中传播时其频率会发生变化这种现象后，科学家分别用两种方法做出了解释。

现象：从地面 P 点向上发出一束频率为 ν_0 的光，射向离地面高为 H (远小于地球半径) 的 Q 点处的接收器上，接收器接收到的光的频率为 ν 。

方法一：根据光子能量 $E = h\nu = mc^2$ (式中 h 为普朗克常量， m 为光子的等效质量， c 为真空中的光速) 和重力场中能量守恒定律，可得接收器接收到的光的频率 ν 。

方法二：根据广义相对论，光在有万有引力的空间中运动时，其频率会发生变化。将该理论应用于地球附近，可得接收器接收到的光的频率

$$\nu = \nu_0 \frac{\sqrt{1 - \frac{2GM}{c^2 R}}}{\sqrt{1 - \frac{2GM}{c^2 (R+H)}}}, \text{ 式中 } G \text{ 为引力常量,}$$

M 为地球质量， R 为地球半径。下列说法正确的是 (B)

A. 由方法一得到 $\nu = \nu_0 \left(1 + \frac{gH}{c^2}\right)$, g 为地球表面

附近的重力加速度 $mgH + h\nu = h\nu_0 + 0$

B. 由方法二可知，接收器接收到的光的波长大于发出时光的波长 \checkmark $c = \lambda\nu, \nu \downarrow \lambda \uparrow$

C. 若从 Q 点发出一束光照射到 P 点，从以上两种方法均可知，其频率会变小 \times

D. 通过类比，可知太阳表面发出的光的频率在传播过程中变大 \times

第二部分

本部分共 6 小题，共 58 分。

15. (8 分) (1) 用油膜法估测油酸分子直径是一种通过测量宏观量来测量微观量的方法。已知 1 滴油酸酒精溶液中纯油酸的体积为 V ，在水面上形成的单分子油膜面积为 S ，则油酸分子的直径 $d = \frac{V}{S}$ 。

(2) 采用图 1 所示的电路图来测量金属丝 R_x 的电阻率。

① 实验时，闭合开关 S 前，滑动变阻器的滑片 P 应处在 M (填“ M ”或“ N ”)端。

② 按照图 1 连接实物图，如图 2 所示。闭合开关前检查电路时，发现有一根导线接错，该导线为

b (填“ a ”“ b ”或“ c ”)。若闭合开关，该错误连接会带来的问题有 电表示数均为零，不变化

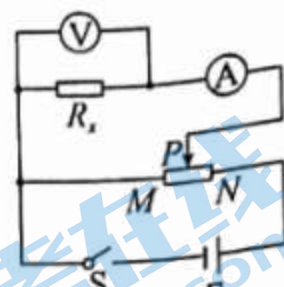


图 1

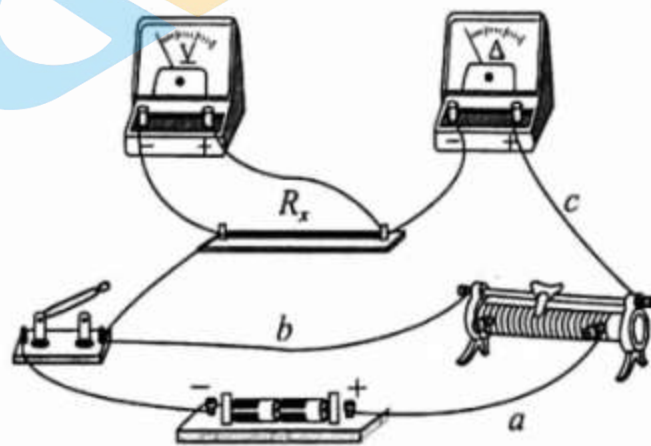


图 2

16. (10 分) 用频闪照相记录平抛小球在不同时刻的位置，探究平抛运动的特点。

(1) 关于实验，下列做法正确的是 ABD (填选项前的字母)。

- A. 选择体积小、质量大的小球 \checkmark
- B. 借助重垂线确定竖直方向 \checkmark
- C. 先抛出小球，再打开频闪仪 \times
- D. 水平抛出小球

(2) 图 1 所示的实验中， A 球沿水平方向抛出，同时 B 球自由落下，借助频闪仪拍摄上述运动过程。图 2 为某次实验的频闪照片。在误差允许范围内，根据任意时刻 A 、 B 两球的竖直高度相同，可判断 A 球竖直方向做 自由落体 运动；根据 任意相等水平位移均相同 可判断 A 球水平方向做匀速直线运动。

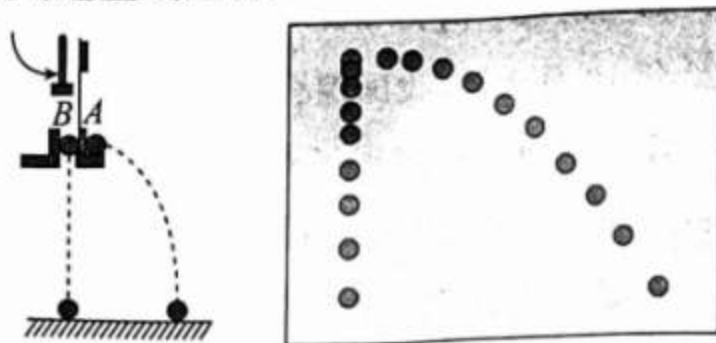
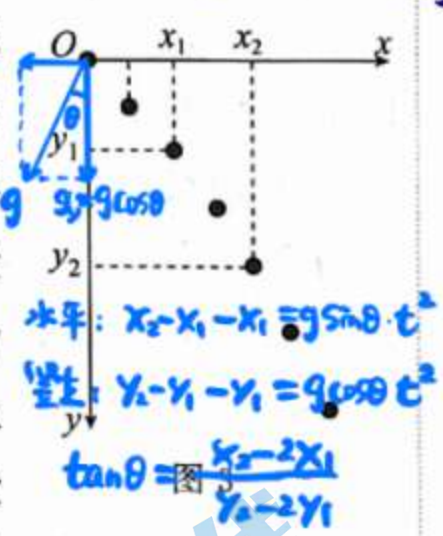


图 2

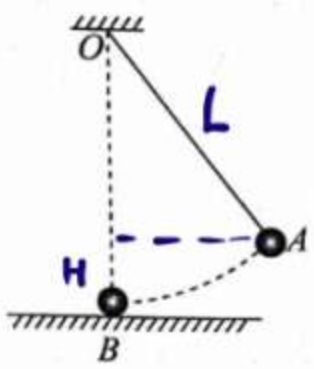
(3) 某同学使小球从高度为 0.8 m 的桌面水平飞出, 用频闪照相拍摄小球的平抛运动(每秒频闪 25 次), 最多可以得到小球在空中运动的 10

个位置. $f=25\text{Hz}, T=\frac{1}{f}=0.04\text{s}$ $h=\frac{1}{2}gt^2, t=\sqrt{\frac{2h}{g}}=0.4\text{s}$

(4) 某同学实验时忘了标记重垂线方向. 为解决此问题, 他在频闪照片中, 以某位置为坐标原点, 沿任意两个相互垂直的方向作为 x 轴和 y 轴正方向, 建立直角坐标系 xOy , 并测量出另外两个位置的坐标值 $(x_1, y_1), (x_2, y_2)$, 如图 3 所示. 根据平抛运动规律, 利用运动的合成与分解的方法, 可得重垂线方向与 y 轴间夹角的正切值为 $\frac{x_2-2x_1}{y_2-2y_1}$



17. (9 分) 如图所示, 质量为 m 的小球 A 用一不可伸长的轻绳悬挂在 O 点, 在 O 点正下方的光滑桌面上有一个与 A 完全相同的静止小球 B, B 距 O 点的距离等于绳长 L . 现将 A 拉至某一高度, 由静止释放, A 以速度 v 在水平方向和 B 发生正碰并粘在一起. 重力加速度为 g . 求:



(1) A 释放时距桌面的高度 H ;
 设 A、B 质量均为 m , 由动能定理得:
 $mgH = \frac{1}{2}mv^2, H = \frac{v^2}{2g}$

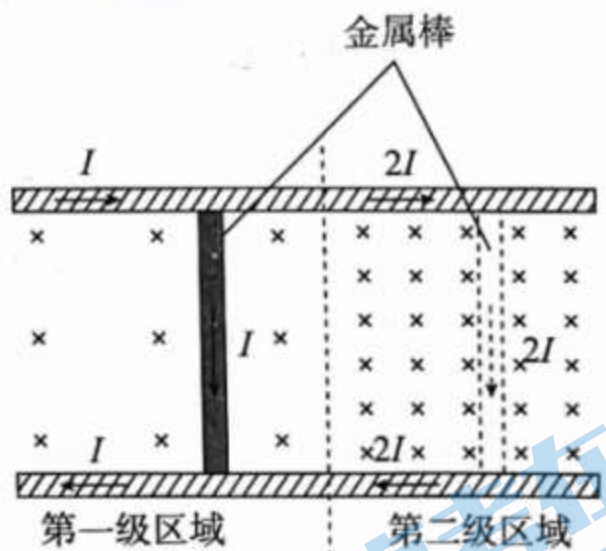
(2) 碰撞前瞬间绳子的拉力大小 F ;
 由牛顿第二定律得:
 $F - mg = m\frac{v^2}{L}, F = m(g + \frac{v^2}{L})$

(3) 碰撞过程中系统损失的机械能 ΔE .
 动量守恒定律: $mv = 2mv_1$
 能量守恒定律: $\frac{1}{2}mv^2 = \frac{1}{2} \cdot 2m v_1^2 + \Delta E$
 解得: $\Delta E = \frac{1}{4}mv^2$

18. (9 分) 2022 年, 我国阶段性建成并成功运行了“电磁撬”, 创造了大质量电磁推进技术的世界最高速度纪录.

一种两级导轨式电磁推进的原理如图所示. 两平行长直金属导轨固定在水平面, 导轨间垂直安放金属棒. 金属棒可沿导轨无摩擦滑行, 且始终与导轨接触良好. 电流从一导轨流入, 经过金属棒, 再从另一导轨流回, 图中电源未画出. 导轨电流在两导轨间产生的磁场可视为匀强磁场, 磁感应强度 B 与电流 i 的关系式为 $B=ki$ (k 为常量). 金属棒被该磁场力推动.

当金属棒由第一级区域进入第二级区域时, 回路中的电流由 I 变为 $2I$. 已知两导轨内侧间距为 L , 每一级区域中金属棒被推进的距离均为 s , 金属棒的质量为 m . 求:



(1) 金属棒经过第一级区域时受到安培力的大小 F ;

安培力 $F = BIL$
 磁场 $B = kI$
 $\Rightarrow F = kI^2L$

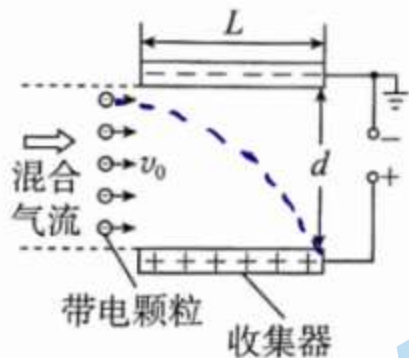
(2) 金属棒经过第一、二级区域的加速度大小之比 $a_1 : a_2$;

由牛顿定律 $a = \frac{F}{m} = \frac{kI^2L}{m}$ 得: $\frac{a_1}{a_2} = \frac{I^2}{(2I)^2} = \frac{1}{4}$

(3) 金属棒从静止开始经过两级区域推进后的速度大小 v .

由动能定理得:
 $kI \cdot IL \cdot s + k \cdot 2I \cdot 2I \cdot Ls = \frac{1}{2}mv^2 - 0$
 解得 $v = \sqrt{\frac{10kI^2Ls}{m}}$

19. (10分) 某种负离子空气净化原理如图所示. 由空气和带负电的灰尘颗粒物(视为小球)组成的混合气流进入由一对平行金属板构成的收集器. 在收集器中, 空气和带电颗粒沿板方向的速度 v_0 保持不变. 在匀强电场作用下, 带电颗粒打到金属板上被收集. 已知金属板长度为 L , 间距为 d . 不考虑重力影响和颗粒间相互作用.



(1) 若不计空气阻力, 质量为 m 、电荷量为 $-q$ 的颗粒恰好全部被收集, 求两金属板间的电压 U_1 ;

颗粒类平抛运动

$$L = v_0 t$$

$$d = \frac{1}{2} a t^2$$

$$a = \frac{F}{m} = \frac{qU_1}{md}$$

联立解得:

$$U_1 = \frac{2md^2v_0^2}{qL^2}$$

(2) 若计空气阻力, 颗粒所受阻力与其相对于空气的速度 v 方向相反, 大小为 $f = krv$, 其中 r 为颗粒的半径, k 为常量. 假设颗粒在金属板间经极短时间加速达到最大速度.

a. 半径为 R 、电荷量为 $-q$ 的颗粒恰好全部被收集, 求两金属板间的电压 U_2 ;

b. 已知颗粒的电荷量与其半径的平方成正比. 进入收集器的均匀混合气流包含了直径为 $10 \mu\text{m}$ 和 $2.5 \mu\text{m}$ 的两种颗粒, 若 $10 \mu\text{m}$ 的颗粒恰好 100% 被收集, 求 $2.5 \mu\text{m}$ 的颗粒被收集的百分比.

a. 水平方向, 颗粒与空气均为 v_0 , 无阻力.

竖直方向, 颗粒加速与空气相对运动, 有阻力

在极短时间, 达到最大速度匀速, 受力平衡.

$$f = kR \cdot v = q \frac{U_2}{d}$$

$$L = v_0 t$$

$$d = vt$$

$$\left. \begin{array}{l} f = kR \cdot v = q \frac{U_2}{d} \\ L = v_0 t \\ d = vt \end{array} \right\} \text{解得 } U_2 = \frac{kRd^2v_0}{qL}$$

b. 电荷量 $q' = k'r^2$

颗粒 $r_1 = 10 \mu\text{m}$, $q_1 = k'r_1^2$

恰好 100% 被收集, 全打在极板上.

$$\text{即 } k'r_1 v = k'r_1^2 \frac{U_2}{d}, L = v_0 t, d = vt$$

颗粒 $r_2 = 2.5 \mu\text{m}$, $q_2 = k'r_2^2$

设收集百分比为 η , ηd 范围内颗粒打在极板

$$k'r_2 v = k'r_2^2 \frac{U_2}{d}, L = v_0 t, \eta d = vt$$

$$\text{联立以上方程得 } \eta = \frac{r_2}{r_1} = \frac{1}{4} = 25\%$$

即 $10 \mu\text{m}$ 颗粒 100% 被收集时,

$2.5 \mu\text{m}$ 颗粒有 25% 被收集

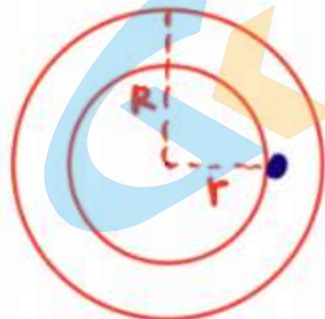
20. (12分) 螺旋星系中有大量的恒星和星际物质, 主要分布在半径为 R 的球体内, 球体外仅有极少的恒星. 球体内物质总质量为 M , 可认为均匀分布. 球体内外的所有恒星都绕星系中心做匀速圆周运动, 恒星到星系中心的距离为 r , 引力常量为 G .

(1) 求 $r > R$ 区域的恒星做匀速圆周运动的速度大小 v 与 r 的关系;

设球体外恒星质量 m , 做匀速圆周运动

$$\frac{GMm}{r^2} = m \frac{v^2}{r} \Rightarrow v = \sqrt{\frac{GM}{r}}$$

(2) 根据电荷均匀分布的球壳内试探电荷所受库仑力的合力为零, 利用库仑力与万有引力的表达式的相似性和相关力学知识, 求 $r \leq R$ 区域的恒星做匀速圆周运动的速度大小 v 与 r 的关系;



如图, 设球体内物质密度 ρ .

$$M = \rho \cdot \frac{4}{3} \pi R^3$$

$$M' = \rho \cdot \frac{4}{3} \pi r^3$$

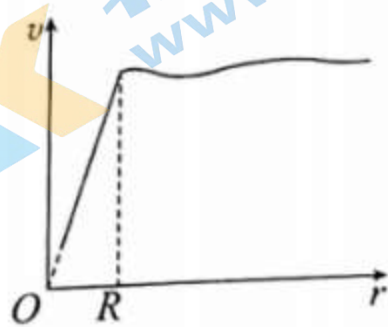
$$\text{解得 } M' = \frac{r^3}{R^3} M$$

球体内恒星 m 做匀速圆周运动.

$$\frac{GM'm}{r^2} = m \frac{v^2}{r} \Rightarrow v = \sqrt{\frac{GM'}{r}} = \sqrt{\frac{GM r^2}{R^3}}$$

$$\begin{cases} r = R \text{ 时, } v = \sqrt{\frac{GM}{R}} \\ r < R \text{ 时, } v = \sqrt{\frac{GM r^2}{R^3}} = \sqrt{\frac{GM}{R^3}} \cdot r \end{cases}$$

(3) 科学家根据实测数据, 得到此螺旋星系中不同位置的恒星做匀速圆周运动的速度大小 v 随 r 的变化关系图像, 如图所示. 根据在 $r > R$ 范围内的恒星速度大小几乎不变, 科学家预言螺旋星系周围 ($r > R$) 存在一种特殊物质, 称之为暗物质. 暗物质与通常的物质有引力相互作用, 并遵循万有引力定律. 求 $r = nR$ 内暗物质的质量 M' .



由题意得
 $r = nR$ 时
 $v = \sqrt{\frac{GM}{R}}$

球体 M 对恒星 m 作用力

$$F_1 = \frac{GMm}{(nR)^2}$$

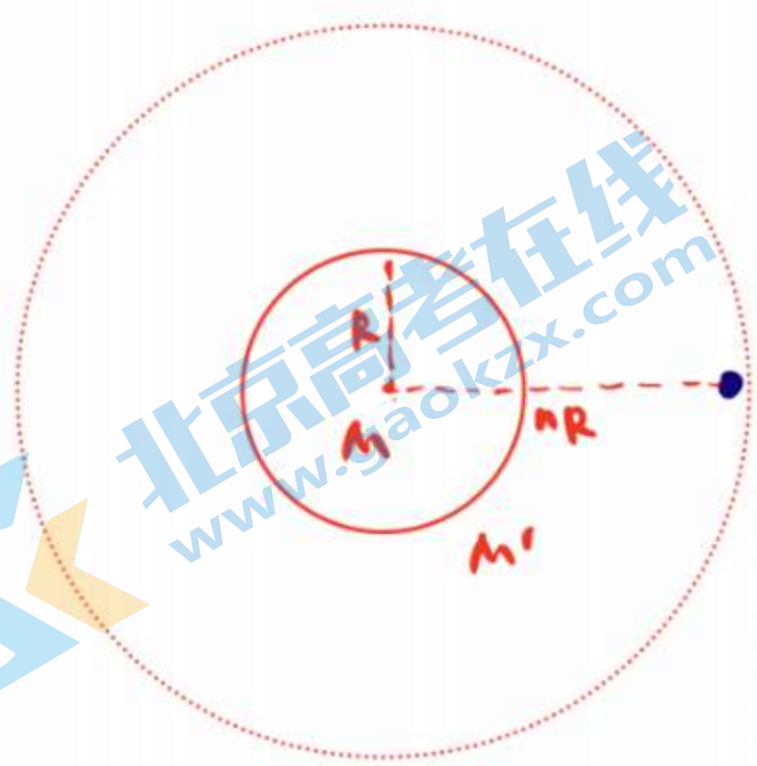
暗物质 M' 对恒星 m 作用力

$$F_2 = \frac{GM'm}{(nR)^2}$$

由牛顿第二定律得:

$$\frac{GMm}{(nR)^2} + \frac{GM'm}{(nR)^2} = m \frac{v^2}{nR}$$

$$\text{联立解得 } M' = (n-1)M$$



关于我们

北京高考在线创办于 2014 年，隶属于北京太星网络科技有限公司，是北京地区极具影响力的中学升学服务平台。主营业务涵盖：北京新高考、高中生涯规划、志愿填报、强基计划、综合评价招生和学科竞赛等。

北京高考在线旗下拥有网站门户、微信公众平台等全媒体矩阵生态平台。平台活跃用户 40W+，网站年度流量数千万量级。用户群体立足于北京，辐射全国 31 省市。

北京高考在线平台一直秉承 “精益求精、专业严谨” 的建设理念，不断探索 “K12 教育+互联网+大数据” 的运营模式，尝试基于大数据理论为广大中学和家长提供新鲜的高考资讯、专业的高考政策解读、科学的升学规划等，为广大高校、中学和教科研单位提供 “衔接和桥梁纽带” 作用。

平台自创办以来，为众多重点大学发现和推荐优秀生源，和北京近百所中学达成合作关系，累计举办线上线下升学公益讲座数百场，帮助数十万考生顺利通过考入理想大学，在家长、考生、中学和社会各界具有广泛的口碑影响力

未来，北京高考在线平台将立足于北京新高考改革，基于对北京高考政策研究及北京高校资源优势，更好的服务全国高中家长和学生。



微信搜一搜



京考一点通